

بِسْمِ اللّٰهِ الرَّحْمٰنِ الرَّحِيْمِ

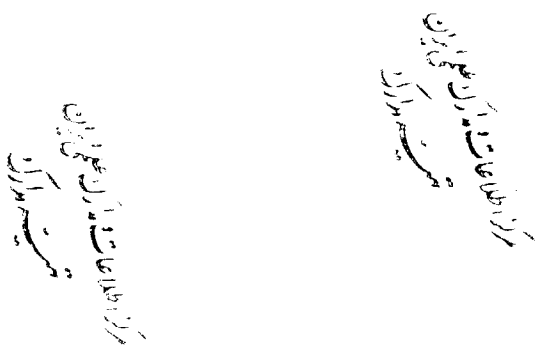
٤١٢٨٠

۱۳۸۱ / ۴ / ۲۰



دانشگاه صنعتی اصفهان

دانشکده مکانیک



تحلیل دینامیکی رباتهای الاستیک با مفاصل کشوئی و شبیه سازی آنها

پایان نامه کارشناسی ارشد مهندسی مکانیک ، گرایش طراحی کاربردی

جواد جهانپور

استاد راهنمای

دکتر مصطفی غیور

۱۳۷۹

۱۲۸۰



دانشگاه صنعتی اصفهان

دانشکده مکانیک

پایان نامه کارشناسی ارشد رشته طراحی کاربردی آقای جواد جهانپور

تحت عنوان

تحلیل دینامیکی رباتهای الستیک با مفاصل کشونی و شبیه سازی آنها

در تاریخ ۱۳۷۹/۱۱/۲۶ توسط کمیته تخصصی زیر مورد بررسی و تصویب نهایی قرار گرفت.

دکتر مصطفی غیور

۱- استاد راهنمای پایان نامه

دکتر عیاس فتاح

۲- استاد مشاور پایان نامه

دکتر حسن نحوی

۳- استاد مشاور پایان نامه

دکتر سید حسن موسوی

۴- استاد داور

دکتر حسن خادمی زاده

سرپرست تحصیلات تکمیلی دانشکده

تشکر و قدردانی

خدایا تو را شکر می گویم که...

صمیمانه ترین تشکرات و سپاس درونی خود را به پدر و مادر گرامی و عزیزم که با الطاف بی دریغ آنها این دوره را نیز به پایان رساندم، تقدیم می نمایم و از استاد گرانقدر و دلسوز جناب آقای دکتر مصطفی غیور، که در کلیه مراحل پروژه از موهبت راهنمایی ایشان بهره گرفتم کمال تشکر و قدردانی را دارم. از جناب آقای دکتر مصطفی غیور به خاطر حسن توجه و عنایت در بازخوانی پروژه و تذکرات مفید ایشان بی نهایت سپاسگزارم و نیز از جناب آقای دکتر عباس فتاح و جناب آقای دکتر حسن نحوی که زحمت مشاوره و اظهار نظر این پروژه را متقبل شدند، کمال تشکر را دارم. از جناب آقای دکتر سید حسن موسوی نیز به خاطر حضورشان در جلسه دفاعیه قدردانی می نمایم. همچنین از اساتید دانشکده، آقایان: دکتر سبعهانی، دکتر همامی، دکتر کشمیری، دکتر محمد جعفر صدیق و سرپرست محترم تحصیلات تكمیلی جناب آقای دکتر حسن خادمی زاده در دوره کارشناسی ارشد و آقایان: دکتر مه پیکر، دکتر یوسف ثانی، دکتر قاضی خانی، دکتر رضاei پژند، دکتر نیازمند، دکتر معاونیان، مهندس جامی الاحمدی و مهندس فرشیدیان فر و... در دوره کارشناسی، که افتخارشاگردی در محضرشان را داشتم تشکر می نمایم. همچنین از همسر مهربان و صبورم، خانم مهندس مریم حکاک نیز کمال تشکر و قدردانی را دارم.

از دوستان خوبیم و مهندسین عزیزی، حبیب احمدی، مهدی صالحی، مسعود رمضانی، سعید اسد اللہی، شهرام هادیان، سواک طهماسبیان، نادر دادخواه منش، محمد قاسم خرمی و مسئول محترم سایت کارشناسی ارشد جناب آقای کیوان همدانی که به نوعی در راه بجهت پروژه مرا یاری کردن تشکرمی نمایم.

کلیه حقوق مادی مترتب بر نتایج مطالعات و
ابتکارات و نوآوریهای ناشی از تحقیق موضوع
این پایان‌نامه (رساله) متعلق به دانشگاه صنعتی
اصفهان است.



مریم،

برای یادآوری لحظه به لحظه این سالها هیچ بیانی زیباتر از:

"حافظ از مشرب قسمت کله بی انصافیست

طبع پون آب و علیم دو جهان ما را بس نیست!"

تقدیم به تو

فهرست مطالب

صفحه	عنوان
شش	فهرست مطالب
هشت	فهرست اشکال و جداول
۱	چکیده
۵	فصل اول : مقدمه
۹	۱-۱- مروری بر کارهای قبلی
۹	۱-۲- مروری بر کار حاضر
۱۲	فصل دوم : سینما تیک بازوی رباتها
۱۳	۱-۲ - مدلسازی
۱۵	۱-۱- سینماییک بازویهای الاستیک
۲۰	۱-۲- توابع مود و خواص آن
۲۰	۱-۳- مدل مودهای فرضی
۲۲	۱-۴- مقادیر اولیه ضرایب توابع مود
۲۴	فصل سوم : دینامیک عضو الاستیک با مفصل کشویی و حرکت انتقالی
۳۰	۱-۱- معادلات حرکت
۳۱	۱-۲- خروج عضو از راهنمای
۳۱	۱-۳- بررسی تأثیر افزایش تعداد مودهای ارتعاشی
۳۲	۱-۴- بررسی تأثیر اضافه کردن جرم متمرکز در انتهای عضو کشویی
۴۲	۱-۵- بررسی تأثیر تغییر شرایط اولیه
۴۶	۱-۶- ورود عضو به راهنمای
۵۴	فصل چهارم : دینامیک عضو الاستیک با مفصل کشویی و حرکت انتقالی همراه با چرخش راهنمای
۵۷	۱-۱- معادلات حرکت
۶۹	۱-۲- شبیه سازی معادلات حرکت
۶۹	۱-۳- دینامیک معکوس
۷۱	۱-۴- دینامیک یک ریات دو درجه آزادی باداشتن یک عضو الاستیک و مفصل کشویی
۷۱	۱-۴-۱- سینماییک
۷۱	۱-۴-۲- معادلات حرکت شبیه سازی معادلات حرکت
۷۷	فصل پنجم : دینامیک یک ریات سه درجه آزادی باداشتن یک عضو الاستیک و مفصل کشویی
۷۷	۱-۵- سینماتیک

۷۹	۲-۵- معادلات حرکت
۸۰	۱-۲-۵- انرژی جنبشی
۸۲	۲-۲-۵- انرژی پتانسیل
۸۳	۳-۲-۵- فرم بسته معادلات حرکت
۸۴	۳-۵- شبیه سازی معادلات حرکت
۸۵	۴-۵- محاسبه گشتوارها و نیروها
	فصل ششم: نتیجه گیری و پیشنهادات
۹۱	۱-۶- نتیجه گیری
۹۳	۲-۶- ارائه پیشنهادات
۹۴	پیوستها
۱۰۳	مراجع
	چکیده انگلیسی

فهرست اشکال و جداول

- ۱ شکل (۱-۱) : یک سیستم چند عضوی الاستیک
- ۲ شکل (۲-۱) : مدلی از یک سیستم چند عضوی با اعضاء الاستیک
- ۱۳ شکل (۱-۲) : سیستم های مختصات برای عضو الاستیک زام
- ۱۴ شکل (۲-۲) : عضو الاستیک زام
- ۱۸ شکل (۳-۲) : تیر با شرایط مرزی "گیردار - جرم انتهای"
- ۲۳ شکل (۱-۳) : یک تیر الاستیک با مفصل کشویی و شرایط مرزی
- ۳۰ شکل (۲-۳) : نمودار نیرو در حالت خروج عضواز راهنمای
- ۳۳ شکل (۳-۳) : نمودار تغییر طول عضو الاستیک برای $M_e = 0, \bar{\delta} = 5 \text{ (mm)}, N = 2$
- ۳۳ شکل (۴-۳) : نمودار تغییر طول عضو الاستیک برای $M_e = 0, \bar{\delta} = 5 \text{ (mm)}, N = 3$
- ۳۴ شکل (۵-۳) : نمودار نیرو در حالت خروج عضواز راهنمای
- ۳۴ شکل (۶-۳) : نمودار تغییر طول عضو الاستیک برای $M_e = 0, \bar{\delta} = 5 \text{ (mm)}, N = 2$
- ۳۵ شکل (۷-۳) : نمودار تغییر مکان انتهای عضو الاستیک برای $M_e = 0, \bar{\delta} = 5 \text{ (mm)}, N = 3$
- ۳۵ شکل (۸-۳) : نمودار تغییر مکان انتهای عضو الاستیک برای $M_e = 0, \bar{\delta} = 5 \text{ (mm)}, N = 2$
- ۳۶ شکل (۹-۳) : نمودار تغییر طول عضو الاستیک برای $M_e = 0, \bar{\delta} = 5 \text{ (mm)}, N = 2$
- ۳۶ شکل (۱۰-۳) : نمودار تغییر طول عضو الاستیک برای $M_e = 2 \text{ (kg)}, \bar{\delta} = 5 \text{ (mm)}, N = 2$
- ۳۶ شکل (۱۱-۳) : نمودار تغییر طول عضو الاستیک برای $M_e = 4 \text{ (kg)}, \bar{\delta} = 5 \text{ (mm)}, N = 2$
- ۳۷ شکل (۱۲-۳) : نمودار نیرو در حالت خروج عضواز راهنمای
- ۳۷ شکل (۱۳-۳) : نمودار تغییر مکان انتهای عضو الاستیک برای $M_e = 2 \text{ (kg)}, \bar{\delta} = 5 \text{ (mm)}, N = 2$
- ۳۷ شکل (۱۴-۳) : نمودار نیرو در حالت خروج عضواز راهنمای
- ۳۸ شکل (۱۵-۳) : نمودار تغییر مکان انتهای عضو الاستیک برای $M_e = 0, \bar{\delta} = 5 \text{ (mm)}, N = 2$
- ۳۸ شکل (۱۶-۳) : نمودار تغییر مکان انتهای عضو الاستیک برای $M_e = 2 \text{ (kg)}, \bar{\delta} = 5 \text{ (mm)}, N = 2$
- ۳۸ شکل (۱۷-۳) : نمودار تغییر مکان انتهای عضو الاستیک برای $M_e = 4 \text{ (kg)}, \bar{\delta} = 5 \text{ (mm)}, N = 2$
- ۳۹ شکل (۱۸-۳) : نمودار تغییر طول عضو الاستیک برای $M_e = 0, \bar{\delta} = 0, N = 2$
- ۴۰ شکل (۱۹-۳) : نمودار تغییر طول عضو الاستیک برای $M_e = 0, \bar{\delta} = 5 \text{ (mm)}, N = 2$
- ۴۰ شکل (۲۰-۳) : نمودار نیرو در حالت خروج عضواز راهنمای
- ۴۰ شکل (۲۱-۳) : نمودار نیرو در حالت خروج عضواز راهنمای

- شکل (۲۲-۳) : نمودار تغییر مکان انتهای عضو الستیک برای $M_e = 0, \bar{\delta} = 0, N = 2$
- شکل (۲۳-۳) : نمودار تغییر مکان انتهای عضو الستیک برای $M_e = 0, \bar{\delta} = 5 \text{ (mm)}, N = 2$
- شکل (۲۴-۳) : نمودار نیرو در حالت ورود عضو به راهنمای $M_e = 2 \text{ (kg)}, \bar{\delta} = 14.142 \text{ (mm)}, N = 2$
- شکل (۲۵-۳) : نمودار تغییر طول عضو الستیک برای $M_e = 2 \text{ (kg)}, \bar{\delta} = 14.142 \text{ (mm)}, N = 2$
- شکل (۲۶-۳) : نمودار تغییر طول عضو الستیک برای $M_e = 2 \text{ (kg)}, \bar{\delta} = 14.142 \text{ (mm)}, N = 2$
- شکل (۲۷-۳) : نمودار تغییر مکان انتهای عضو الستیک برای $M_e = 2 \text{ (kg)}, \bar{\delta} = 14.142 \text{ (mm)}, N = 2$
-
- شکل (۱-۴) : یک عضو الستیک در حرکت انتقالی همراه با چرخش راهنمای $L = 52.5 - 11.45t \text{ (cm)}$
- شکل (۲-۴) : دیاگرام آزاد یک المان از عضو الستیک $L = 42.55 + 4.1t \text{ (cm)}$ ، خروج عضو از راهنمای $L = 52.1 - 3t - 5.4 \frac{t^2}{2}$
- شکل (۳-۴) : نمودار تغییر مکان انتهای عضو الستیک برای $L = 44 + 0.8t + 1.5 \frac{t^2}{2}$ ، خروج عضو از راهنمای $L = 51 - 7.2t \text{ (cm)}$
- شکل (۴-۴) : نمودار تغییر مکان انتهای عضو الستیک برای $L = 40 + 3.5t \text{ (cm)}$ ، خروج عضو از راهنمای $L = 40 + 3.5t \text{ (cm)}$
- شکل (۵-۴) : نمودار تغییر مکان انتهای عضو الستیک برای $L = 40 + 3.5t \text{ (cm)}$ ، خروج عضو از راهنمای $L = 40 + 3.5t \text{ (cm)}$
- شکل (۶-۴) : نمودار تغییر مکان انتهای عضو الستیک برای $L = 40 + 3.5t \text{ (cm)}$ ، خروج عضو از راهنمای $L = 40 + 3.5t \text{ (cm)}$
- شکل (۷-۴) : نمودار تغییر مکان انتهای عضو الستیک برای $L = 40 + 3.5t \text{ (cm)}$ ، خروج عضو از راهنمای $L = 40 + 3.5t \text{ (cm)}$
- شکل (۸-۴) : نمودار تغییر مکان انتهای عضو الستیک برای $L = 40 + 3.5t \text{ (cm)}$ ، خروج عضو از راهنمای $L = 40 + 3.5t \text{ (cm)}$
- شکل (۹-۴) : نمودار تغییر مکان انتهای عضو الستیک برای حالت اول از جدول (۱-۴)، خروج عضو از راهنمای $L = 40 + 3.5t \text{ (cm)}$ ، خروج عضو از راهنمای $L = 40 + 3.5t \text{ (cm)}$
- شکل (۱۰-۴) : نمودار تغییر مکان انتهای عضو الستیک برای حالت دوم از جدول (۱-۴)، خروج عضو از راهنمای $L = 40 + 3.5t \text{ (cm)}$ ، خروج عضو از راهنمای $L = 40 + 3.5t \text{ (cm)}$
- شکل (۱۱-۴) : نمودار تغییر مکان انتهای عضو الستیک برای حالت سوم از جدول (۱-۴)، خروج عضو از راهنمای $L = 40 + 3.5t \text{ (cm)}$ ، خروج عضو از راهنمای $L = 40 + 3.5t \text{ (cm)}$
- شکل (۱۲-۴) : نمودار تغییر مکان انتهای عضو الستیک برای حالت چهارم از جدول (۱-۴)، خروج عضو از راهنمای $L = 40 + 3.5t \text{ (cm)}$ ، خروج عضو از راهنمای $L = 40 + 3.5t \text{ (cm)}$
- شکل (۱۳-۴) : نمودار تغییر مکان انتهای عضو الستیک برای حالت پنجم از جدول (۱-۴)، خروج عضو از راهنمای $L = 40 + 3.5t \text{ (cm)}$ ، خروج عضو از راهنمای $L = 40 + 3.5t \text{ (cm)}$
- شکل (۱۴-۴) : نمودار تغییر مکان انتهای عضو الستیک برای حالت ششم از جدول (۱-۴)، خروج عضو از راهنمای $L = 40 + 3.5t \text{ (cm)}$ ، خروج عضو از راهنمای $L = 40 + 3.5t \text{ (cm)}$

- شکل (۱۵-۴) : نمودار تغییر مکان انتهای عضو الاستیک برای حالت هفتم از جدول (۱-۴) ، ورود عضو به راهنمای حرکت
تند ۶۵
- شکل (۱۶-۴) : نمودار تغییر مکان انتهای عضو الاستیک برای حالت هشتم از جدول (۱-۴) ، ورود عضو به راهنمای
چرخش راهنمای حرکت تند ۶۶
- شکل (۱۷-۴) : نمودار نیروی محوری در حالت صلب F_t برای حالت اول از جدول (۱-۴) ، خروج عضو از راهنمای
حرکت گند ۶۶
- شکل (۱۸-۴) : نمودار نیروی محوری در حالت الاستیک F_1 برای حالت اول از جدول (۱-۴) ، خروج عضو از راهنمای
حرکت گند ۶۶
- شکل (۱۹-۴) : نمودار نیروی محوری در حالت صلب T_F برای حالت هشتم از جدول (۱-۴) ، ورود عضو به راهنمای
چرخش راهنمای حرکت تند ۶۷
- شکل (۲۰-۴) : نمودار نیروی محوری در حالت الاستیک F_2 برای حالت هشتم از جدول (۱-۴) ، ورود عضو به راهنمای
چرخش راهنمای حرکت تند ۶۷
- شکل (۲۱-۱) : نمودار گشتاور در حالت الاستیک T_R برای حالت هشتم از جدول (۱-۴) ، ورود عضو به راهنمای
چرخش راهنمای حرکت تند ۶۸
- شکل (۲۲-۴) : ریات شبه استانفورد ۶۹
- شکل (۲۳-۴) : نمای شماتیک از ریات دو درجه آزادی انعطاف پذیر RP ۷۰
- شکل (۲۴-۴) : شکل اولیه ریات در حالت اول از جدول (۲-۴) ۷۲
- شکل (۲۵-۴) : شکل اولیه ریات در حالت دوم از جدول (۲-۴) ۷۲
- شکل (۲۶-۴) : نمودار تغییر مکان پنجه در حالت صلب در راستای محور X برای حالت اول از جدول (۲-۴) ، خروج
عضو از راهنمای حرکت گند ۷۳
- شکل (۲۷-۴) : نمودار تغییر مکان پنجه در حالت الاستیک در راستای محور X برای حالت اول از جدول (۲-۴) ،
خروج عضو از راهنمای حرکت کند ۷۳
- شکل (۲۸-۴) : نمودار تغییر مکان پنجه در حالت صلب در راستای محور Y برای حالت اول از جدول (۲-۴) ، خروج
عضو از راهنمای حرکت گند ۷۴
- شکل (۲۹-۴) : نمودار تغییر مکان پنجه در حالت الاستیک در راستای محور Y برای حالت اول از جدول (۲-۴) ،
خروج عضو از راهنمای حرکت کند ۷۴
- شکل (۳۰-۴) : نمودار تغییر مکان پنجه در حالت صلب در راستای محور X برای حالت دوم از جدول (۲-۴) ، ورود
عضو به راهنمای چرخش راهنمای حرکت تند ۷۵
- شکل (۳۱-۴) : نمودار تغییر مکان پنجه در حالت الاستیک در راستای محور X برای حالت دوم از جدول (۲-۴) ،
ورود عضو به راهنمای چرخش راهنمای حرکت تند ۷۵

شکل (۴-۳) : نمودار تغییر مکان پنجه در حالت صلب در راستای محور Y برای حالت دوم از جدول (۲-۴)، ورود عضو به راهنمای چرخش راهنمای حرکت تند	۷۶
شکل (۴-۴) : نمودار تغییر مکان پنجه در حالت الاستیک در راستای محور Y برای حالت دوم از جدول (۲-۴)، ورود عضو به راهنمای چرخش راهنمای حرکت تند	۷۶
شکل (۱-۵) : نمای شماتیک از ریات سه درجه آزادی انعطاف پذیر RRP	۷۷
شکل (۲-۵) : نمودار تغییر مکان پنجه در حالت صلب در راستای محور X	۸۶
شکل (۳-۵) : نمودار تغییر مکان پنجه در حالت الاستیک در راستای محور X	۸۶
شکل (۴-۵) : نمودار تغییر مکان پنجه در حالت صلب در راستای محور Y	۸۷
شکل (۵-۵) : نمودار تغییر مکان پنجه در حالت الاستیک در راستای محور Y	۸۷
شکل (۶-۵) : نمودار تغییر مکان پنجه در حالت صلب در راستای محور Z	۸۸
شکل (۷-۵) : نمودار تغییر مکان پنجه در حالت الاستیک در راستای محور Z	۸۸
شکل (۸-۵) : نمودار تغییر مکان انتهای عضو الاستیک در جهت محور X	۸۹
شکل (۹-۵) : نمودار گشتاور τ_1	۸۹
شکل (۱۰-۵) : نمودار گشتاور τ_2	۹۰
شکل (۱۱-۵) : نمودار نیرو F	۹۰
جدول (۱-۳) : حالات مختلف بررسی تأثیر افزایش تعداد مودهای ارتعاشی	۹۱
جدول (۲-۳) : حالات مختلف بررسی تأثیر اضافه کردن جرم مرکز در انتهای عضو کشویی	۹۱
جدول (۳-۳) : حالات مختلف بررسی تأثیر تغییر شرایط اولیه ارتعاش	۹۲
جدول (۱-۴) : ضرایب معادلات (۴۰-۴) و (۴۶-۴) برای حرکتهای مختلف عضو کشویی	۵۶
جدول (۲-۴) : ضرایب معادلات (۵۳-۴) و (۵۴-۴) برای حرکتهای مختلف عضو کشویی	۷۱
جدول (۱-۵) : پارامترهای D-H (Denavit-Hartenberg) برای ریات سه درجه آزادی	۷۸

چکیده

در سالهای اخیر بررسی و تحلیل دقیق دینامیک زنجیره های باز ، ذهن بسیاری از محققین ریاتیک رابه خود مشغول داشته است ، که پیامد آن تحلیل دقیق دینامیک رباتهایی بوده است که دارای اعضاء الاستیک می باشند . تحقیقات بسیاری در زمینه رباتهای انعطاف پذیر که دارای مفاصل چرخشی می باشند انجام گرفته است و تحقیقات در زمینه رباتهای انعطاف پذیر با مفاصل کشویی محدود می باشد . به لحاظ اهمیت کاربرد حرکت‌های انتقالی و حرکت‌های انتقالی همراه با چرخش ، در بازوی رباتها ، در این تحقیق سعی شده است به طور خاص به تحلیل دینامیک رباتهای انعطاف پذیر با مفاصل کشویی پرداخته شود . ابتدا با استفاده از روش تحلیلی (لاگراز) مدل مودهای فرضی با درنظر گرفتن دو مود ارتعاشی ، معادلات حرکت یک عضو الاستیک با مفصل کشویی استخراج و با ورودیهای مختلف شیوه سازی می شود . همچنین تأثیرات افزایش تعداد مودهای بکار گرفته شده در مدل مودهای فرضی ، اضافه کردن جرم متمن کز در انتهای عضو کشویی و تغییر شرایط اولیه ارتعاش عضو الاستیک ، در نتایج بدست آمده مورد بحث و تحلیل قرار می گیرد . در ادامه پژوهه با استفاده از روش نیوتون - اویلر مدل مودهای فرضی با درنظر گرفتن دو مود ارتعاشی ، معادلات حرکت یک عضو الاستیک با مفصل کشویی ، که عضو دارای حرکت انتقالی همراه با چرخش راهنمایی باشد ، استخراج و با ورودیهای مختلف شیوه سازی می شود و سپس با استفاده از همین روش (نیوتون - اویلر) معادلات حرکت یک ربات دو درجه آزادی صفحه ای باداشتن یک عضو الاستیک با مفصل کشیی استخراج و با ورودیهای مختلف شیوه سازی می شود . در بخش دیگر از تحقیق ، با استفاده از روش تحلیلی (لاگراز) معادلات حرکت یک ربات سه درجه آزادی باداشتن یک عضو الاستیک با مفصل کشویی ، با درنظر گرفتن یک مود ارتعاشی در مدل مودهای فرضی ، استخراج و با استفاده از نتایج شیوه سازی معادلات ، موقعیت پنجه در هر لحظه مورد بررسی قرار می گیرد . نتایج برای ربات دو درجه آزادی و سه درجه آزادی باحالتی که اعضاء ربات صلب در نظر گرفته شوند نیز مورد مقایسه قرار می گیرند و همچین برای هر دو ربات ، گشتاورهای نیروهای مورد نیاز برای حرکت های داده شده محاسبه می شوند .

فصل اول

مقدمه

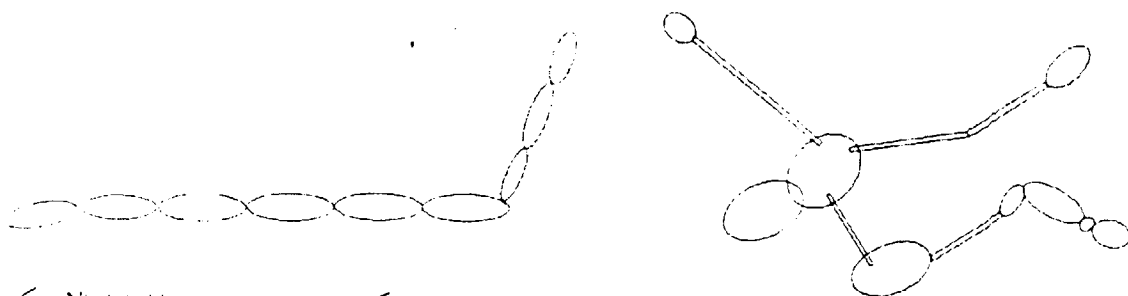
یکی از دشوارترین مسایل در علم مکانیک جدید ، مطالعه حرکتهای دینامیکی غیر خطی در سیستم‌های الاستیک بویژه سیستم‌های الاستیک تحت حرکتهای سریع می‌باشد . برغم مطالعات بسیار و بیشمار در این زمینه و تلاشهای وسیع ، هنوز مسائل حل نشده بسیاری وجود دارد . روش‌های مختلفی برای تحلیل حرکات یک سیستم چند عضوی با عضله الاستیک^۱ ارائه شده است . یک سیستم چند عضوی ، شامل اعضایی است که بصورت صلب و یا الاستیک^۲ می‌باشد که ممکن است از لحاظ فیزیکی مرتبط و یا جدا از هم باشند و یا ممکن است حلقه‌های بسته و یا بازی بوجود آورند . در شکل (۱-۱) و شکل (۲-۱) حالتایی از یک سیستم چند عضوی با عضله الاستیک آورده شده است . در کلیه این حالات تحلیل در خصوص انعطاف پذیری^۳ مشکل می‌باشد . در حقیقت حالتها و وضعیتها بسیاری برای مطالعه و تحقیق حرکات در سیستم‌های انعطاف پذیر نسبت به کل سیستم‌های دیگر وجود دارد . تاثیرات انعطاف پذیری در سیستم‌های چند عضوی در صورتیکه طویل و حجمی باشد مهم است .

^۱ A flexible multibody system

^۲flexible

^۳flexibility

نگاهی تاریخی به سیر تحقیقی در مورد زنجیره ها^۱ اعم از باز وسته و تحلیل دینامیکی آنها مارا با مشکلات و همچنین نحوه برخورد با مسایل انعطاف پذیری آشناتر می سازد. در چهل سال اخیر توجه بسیاری به دینامیک سیستمهای چند عضوی در زمینه های مختلف اعم از طراحی، رباتیک، هوا فضا و ... شده است.



شکل (۱-۱): یک سیستم چند عضوی الستیک

در مورد سیستم های چند عضوی شامل اعضاء صلب کارهای متعددی انتشار یافته است و نکیکهای کامپیوتری پیشرفته ای برای حل معادلات حرکت ارائه شده است، حتی انتخاب بهترین صورت معادلات دینامیکی در روش های کامپیوتری، موضوعی تخصصی بشمار آمده و تحقیقات متنوعی در این مورد نیز انجام شده است [۱].

با در نظر گرفتن پارامترهایی از قبیل طولی بودن اعضاء^۲ و سرعتهای بالا^۳ و همچنین سبکی اعضاء^۴ معادلات سیستم در حالت صلب آنچنانکه انتظار می رود واقعی نیستند و نیاز به در نظر گرفتن انعطاف پذیری اعضاء و لحاظ کردن آن در معادلات حرکت می باشد. انعطاف پذیری درجه آزادی سیستم را افزایش می دهد و حجم معادلات بالاتر می رود. در بررسی موضوع انعطاف پذیری باید به دو قسمت مهم توجه نمود

۱- انعطاف پذیری مفصل^۵

انعطاف پذیری در حالت اول در موارد زیر مورد مطالعه قرار گرفته می شود:

¹ chains

² Long links

³ High speed

⁴ Light material

⁵ Joint flexibility

⁶ Link flexibility